

15丁2

87.11.15

B374

帶有阻抗聯接變壓器的 軌道電路

H·中·賓 金著

人民鐵道出版社

本書叙述了交流軌道电路的参数及計算方法阻抗联接
变压器在电碼轨道电路的运用、阻抗联接器和阻抗联接变
压器的原理、計算方法等。

本書供鐵路、矿山信号工程技术人员及信号專業学校
师生参考之用。

帶有阻抗联接变压器的軌道电路

РЕЛЬСОВЫЕ ЦЕПИ ПЕРЕМЕННОГО ТОКА
С ДРОССЕЛЬ-ТРАНСФОРМАТОРАМИ

苏联 Н.Ф.ПЕНКИН 著

苏联国家铁路运输出版社 (1953年莫斯科俄文版)

TRANSCHELDORIYIZDAT, Москва 1953

胡同光 合譯

司徒鑑国

責任編輯 周士鑑

人民鐵道出版社出版

(北京市霞公府17号)

北京市書刊出版業營業許可証出字第010号

新华書店發行

人民鐵道出版社印刷厂印

(北京市建国門外七聖廟)

書號：931 开本 850×1168^{1/2} 印張 4^{1/2} 字数 119 千

1958年4月第1版

1958年4月第1版第1次印刷

印数 0001—900 册 定价(10) 0.80 元

目 录

序言 1

I、引 言

II、轨道电路及其参数

- | | |
|-------------------|----|
| 1. 概論..... | 6 |
| 2. 轨道电路的第一参数..... | 7 |
| 3. 轨道电路的第二参数..... | 23 |

III、轨道电路作为复杂的四端网络

- | | |
|--------------------------|----|
| 1. 轨道电路的基本电路圖..... | 28 |
| 2. 增量法..... | 32 |
| 3. 用阻抗联接变压器的轨道电路的特征..... | 36 |

IV、用二元轨道繼电器的轨道电路的相位关系

- | | |
|--------------------------|----|
| 1. 二元繼电器的特征..... | 41 |
| 2. 保証相位关系接近於理想情况的方法..... | 45 |
| 3. 轨道电路的綜合線路圖..... | 58 |

V、轨道电路的分流感度和断轨保障

- | | |
|-------------------------|----|
| 1. 轨道电路的分流感度..... | 61 |
| 2. 断轨保障..... | 69 |
| 3. 断轨时，等效轨道电路的总線路圖..... | 83 |

VI、用二元軌道繼電器的軌道电路

1. 概論.....	85
2. 用电容限流器的轨道电路参数的选择.....	86
3. 軌道繼電器及其特性.....	90
4. 非机車自动信号区段上的轨道电路.....	91
5. 机車自动信号区段上的轨道电路.....	93
6. 軌道电路动作稳定性.....	98
7. 用标准型电容器組的轨道电路.....	104
8. 用电阻限流器或电感限流器的轨道电路.....	110
9. 阻抗联接变压器的运用.....	114

VII、阻抗联接变压器在电碼轨道电路中的运用

1. 电碼轨道电路的特征.....	117
2. 在电碼轨道电路繼電器端採用阻抗联接变压器.....	118
3. 在轨道电路电源端採用阻抗联接变压器.....	120
4. 軌道电路电源端利用 0.2 欧阻抗的阻抗联接变压器 的可能性.....	122

VIII、軌道阻抗联接器和阻抗联接变压器的計算

1. 磁系統的計算.....	126
2. 阻抗联接器的热状态的計算.....	137
3. 阻抗联接变压器的構成.....	143

附 录

序　　言

共产党和苏维埃政府一贯地以新技术来装备铁路，其中包括提高列车运行安全和增加铁路通过能力的信号集中闭塞装置。

在党第19次代表大会关于1955年的苏联国民经济发展的第五个五年计划的指示中，规定了要大大地增加铁路上的信号集中闭塞装置。到1959年，装设自动闭塞区段的长度要比1950年增加约80%，而装设自动停车区段的长度则要增加1.5倍以上。装设电气集中的道岔数量约增加1.3倍。

所有最新式信号集中闭塞装置工作的可靠性和稳定性，要依赖于铁路自动化基本元件——轨道电路的动作。轨道电路不但检查出线路区段上有无列车，还用来把信号从线路上传到机车上去（自动机车信号），构成相邻闭塞分区的色灯信号机之间的联系（电码自动闭塞）。所以在发展现代信号集中闭塞装置的同时，应该改进轨道电路，使它更经济、保证容易调整和在任何运用情况下都能稳定的动作。

由于这个原因，在最近几年中苏联中央铁道科学研究院（ЦНИИ）的通信和信号集中闭塞室完成了一系列的工作来改进交流轨道电路。改进交流轨道电路的最有希望的方向之一是在轨道电路中广泛地採用电容元件，用来补偿轨道电路中电感元件所消耗的无效功率，也可以用来减小轨道电路所消耗的功率；同时，电容元件还可以改善用二元轨道继电器的轨道电路的相位关系。用阻抗联接变压器的轨道电路中，就可以用上述的电容元件了。阻抗联接变压器有两个线圈，其中一个是用来通过牵引电流的，而另一个是用来联接轨道电路设备的。用阻抗联接变压器和

补偿無效功率的軌道电路是由技术科学碩士 H·Ф·賽金 所研究、試制和試驗的。現在，这种軌道电路已开始在鐵路上广泛地使用。阻抗联接变压器的試制和生产是在工厂里进行的。

这本书里叙述了在交流軌道电路（連續供电式和电碼式）中採用阻抗联接变压器的可能性以及用阻抗联接变压器的交流軌道电路和阻抗联接变压器本身的主要原理和計算方法。書中也有几章是屬於理論方面的。其中叙述了作者在交流軌道电路理論工作方面的結果，这对於計算和研究是有实际意义的。本書適用於現場和設計部門的工程技术工作人員。

院長 И·А·依万諾夫

通信和信号集中閉塞室主任 В·В·維霍采夫

I. 引 言

在电气牵引区段上，有阻抗联接器的交流轨道电路是最复杂的轨道电路型式之一。

有了阻抗联接器，就增加功率的消耗而使整个轨道电路非常不经济，这是这种型式轨道电路的主要缺点。当用二元轨道继电器时，由於不容易得到理想相位关系，所耗功率就增大得更多。

用二元轨道继电器和阻抗联接器的交流轨道电路的主要改进方向是保証相位关系接近於理想情况和減少轨道电路电源的功率消耗。这就要求能有一个可以同时解决兩個問題的技术措施。

用二元轨道继电器的轨道电路中引用电容元件就在根本上改进了电路的工作。这种措施使轨道电路所消耗的功率減少了，因为轨道电路电感元件——钢轨、阻抗联接器、继电器、以及感抗限流器等，所用的無效功率可以得到补偿。在一般的轨道电路中，所有無效功率是由电源供給，这就不仅增加了在高压綫綫条、变压器等等上的消耗，还增加了轨道电路本身元件上的消耗；例如，继电器端阻抗联接器的电抗电流要增加电源端的电压，而电源端的阻抗联接器电流就会使限流器上有很大的电压降。但是，假如在电源端阻抗联接器上即使只並联个阻抗大小与其相等的电容器，限流器上的电流就会減少到 $\frac{1}{2}$ 至 $\frac{1}{3}$ ；这就不必在节约轨道电路所耗功率的观点上再来討論这措施是怎样地有效了。

从轨道电路要得到理想相位关系的观点来看，引用电容元件也是有益处的。單單用电感元件和电阻元件时，轨道电路中任何相位的調整，都要接入增加功率消耗的补助元件。所以沒有採用

电感性或电阻性的辅助元件。相反地，引用了辅助电容元件便不但能任意的移相，还能节省功率，因为轨道电路其他元件上的无效功率被补偿了。

在原則上，採用交流脉冲和电碼的轨道电路有可能減少功率，因为其中採用了小功率的極性脉冲轨道繼电器，但实际上，只当电碼轨道电路用在不裝設机車信号的区段上时，功率才能減少。有机車信号时，在所有情况下都得保証轨道电路驶入端的电流要足以使机車裝置动作；这样，电碼和脉冲轨道电路与用二元轨道繼电器的轨道电路在功率消耗方面相較是不相上下的。使用有整流附件的小功率脉冲繼电器的电碼轨道电路中，在繼电器端採用电容元件对动作不会有任何改进，但是，長电碼轨道电路的电源端必須採用电容元件。这时所用的电路，在节省功率的同时还要能保証減少电碼繼电器接点所断开的功率，並且要能消除火花。

轨道电路中採用电容元件有实际困难，因为电容器很不容易做得又輕便又便宜。要求电容元件的阻抗（50週時）和一般轨道电路元件的低阻抗相当时，必須用大电容的电容器。固然，經過升压变压器来联接小电容的电容器可以免除这种困难。但是升压变压器要增加基本投資和維修費用，因而这种方法沒有好处。在轨道电路的現成設備上添加輔助線圈是比較方便的。运用这种原則的最簡單的設備是ДСР—1型电容轨道繼电器，这种繼电器用在有阻抗联接器的轨道电路上，也用在沒有阻抗联接器的轨道电路上。

用阻抗联接器的轨道电路中，在阻抗联接器上安置輔助線圈是非常方便的（圖1），这样就可以用高阻器材，其动作电压比一般轨道电路的高得很多，而动作电流又小得很多。在这种情况下，轨道电路器材里引用电容元件就沒有困难了。

用阻抗联接变压器（那就是，用有輔助線圈的阻抗联接器）的轨道电路的实际优点在於：

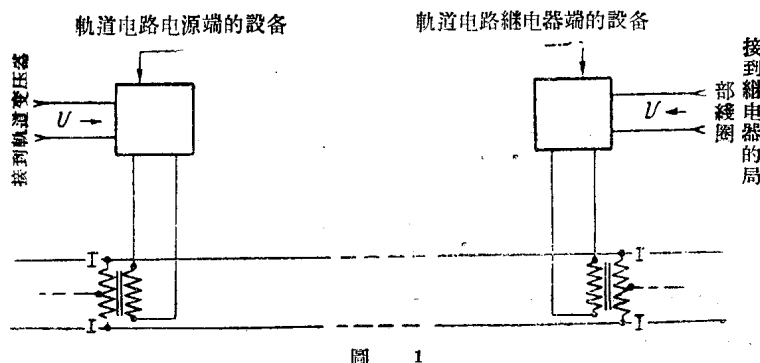


圖 1

- a. 減少引接線損失，因為輔助線圈電流很小；
- b. 消除了由於引接線電阻不同而引起的軌道電路局部特殊性，這種特殊性使軌道電路的調整和維修都複雜了；
- c. 可以將器材放置在離軌道電路很遠的地方；
- d. 軌道電路的鋼軌和器材間不再是直接聯接，而這種直接聯接會使牽引電流對繼電器箱中的設備和接線引起損害性的影响。

軌道電路中採用阻抗聯接變壓器提供了很多的和各種各樣的方便條件。例如，可以把阻抗聯接變壓器的阻抗、尺寸大小、重量和價格減得比一般阻抗聯接器的小。本書也說明了利用這些方便條件中的問題。敘述用阻抗聯接變壓器的軌道電路之前，先闡明交流軌道電路的一些理論，而闡明時所用的形式，使考慮軌道電路採用阻抗聯接變壓器時發生的那些實際問題可以簡單些。

II. 軌道电路及其参数

1. 概論

轨道电路是一种电气回路，用来检查在规定的铁路区段上车辆是否出清。

轨道电路元件为：

- a、被检查的铁路轨道区段，以轨端绝缘与其相邻区段分开；
- b、电源，在被检查区段的一端与钢轨联接；
- c、轨道继电器，在轨道电路另一端与钢轨联接；
- d、限流器，就是接在电源和钢轨之间的阻抗。

电气牵引区段上，除开这些基本元件外，轨道电路中还装置阻抗联接器，用来使牵引电流可以绕开轨端绝缘而在两股钢轨上通过。

自动闭塞装置中采用着的轨道电路，它在被检查区段处于空闲状态时使轨道继电器衔铁吸起或扇翼升起；当该区段上有车辆时或钢轨折断时，使继电器线圈中通过电流减少，其衔铁或扇翼落下。

铁路自动化装置中，轨道电路使得在铁路线路上行驶着的车辆与控制信号和道岔的自动装置间有了联系。

装了轨道电路和接了电源和电能接收器的轨道区间是种特殊的联系线路，在铁路自动化中，它和架空线路及电缆线路在一起用来检查铁路线路的空间，控制自动闭塞信号和道口信号装置（电码自动闭塞）也用在铁路线上将信号转送到机车上去（机车自动信号装置）。轨道电路是钢轨联系线路和接在轨道电

路兩端的器材的总和。

2. 軌道电路的第一参数

在电气性能方面，鋼軌和大地間很低的絕緣电阻对轨道电路有很大的影响，使轨道电路有个漏洩电导形式的附加負載，該負載实际上和週率無关。對於轨道电路，最大的漏洩电导值規定为 $g=1\text{姆}/\text{公里}$ 。个别的区段内，漏洩电导要大得多，这是由於 經过接触电綫網支柱基础的附加漏洩，因支柱是和鋼軌之一联接着，或者由於道碴的特殊性。对轨道电路动作而言，軌間电容实际上沒有影响，計算时不予以考慮。

确定鋼軌阻抗的大小是最复杂了。当分析有电容元件的轨道电路的动作时，若頻率变化則要考慮到鋼軌阻抗的变化。

採用直流时，鋼軌里的功率損失与鋼軌和軌端接續綫的溫度有关並由其直流电阻确定。交流时，电导损失中还要有由於渦流和磁滯所引起的鉄損。这些損耗形成了轨道电路中的附加电阻。此外，电路中还有附加电抗，这是由鋼軌的磁场，鋼軌間的电感耦合（外部电感）和鋼軌內有了磁力綫（內部电感）所引起的。通过交流时，軌端接續綫的阻抗也会有附加的电阻部分和电抗部分。

直流轨道电路里，每一公里的兩股鋼軌的电阻应加上接續綫电阻。

交流轨道电路里，每一公里的兩股鋼軌和接續綫的阻抗等於

$$z = r_0 + r_h + r_s + r_c + \mu_0 (L_i + L_e + L_c), \quad (1)$$

式中 r_h ——电阻，等效於磁滯損失；

r_0 ——鋼軌的直流电阻；

r_s ——渦損电阻；

r_c ——接續綫电阻；

L_i ——鋼軌的內电感；

L_e ——鋼軌的外电感；

I_s ——接續線電感。

一些著者們的研究說明了磁滯損失比其他成分的損失小得多，所以往往不予以考慮。鋼軌里的渦流也產生有效損耗，但有效損耗却主要為鋼軌阻抗的電阻部分所決定。

確定鋼軌阻抗時，必須考慮到鋼軌內部和鋼軌外部的磁場性質。但是，鋼軌是個複雜形狀的導體，並且在鐵磁物体内集膚效應又是特別明顯，也就是說，渦流的遮蔽作用把磁力線排擠到導體表面去，所以問題就複雜了。此外，鐵磁物體里的導磁率也不是個常數，與磁場強度有關，亦即是，與鋼的工作狀態有關。所有這些都使鋼軌阻抗不容易由分析法來確定。

根據許多試驗和測量的結果，可以知道在一公里長的用鉗接式接續線和P38型鋼軌的軌道電路中，當頻率為50週時，其阻抗為

$$z = 0.8e^{j65^\circ} = 0.338 + j0.725 \text{ 欧/公里}.$$

到目前為止，還是以經驗公式或半經驗公式作為確定鋼軌阻抗的基礎。其中比較好的是J·P·聶孟所提出的公式：

$$\begin{aligned} r &= \frac{l}{P} \sqrt{\frac{\mu\omega}{\gamma}}, \\ x_i &= 0.6 \frac{l}{P} \sqrt{\frac{\mu\omega}{\gamma}} = 0.6r, \end{aligned} \quad (2)$$

式中 r ——鋼軌電阻（歐）；

l ——鋼軌長度（公尺）；

P ——鋼軌周長（公尺）；

μ ——鋼的導磁率；

ω ——角頻率；

γ ——鋼的電導系數；

x_i ——鋼軌電抗，由內電感形成（歐）。

聶孟建議以磁場強度

$$H = \frac{I}{P} \text{ 安/公尺},$$

在靜態磁化曲線上求出導磁率，而式中

I — 鋼軌內交流的有效值；

P — 鋼軌周長。

將這些公式運用在鋼軌上時，若信號電流相當小則所得的內電感值太小，而渦損值則又太大；在很低的頻率（低於25週）時，則這些式子將有很大的誤差，不能予以採用。

M·I·鮑新提出了另外幾個式子：

$$\left. \begin{aligned} r_o &= \frac{1}{\sqrt{2}} \cdot \frac{l}{P} \sqrt{\frac{\mu_{10}}{\gamma}} \\ x_i &= r_o = \frac{1}{\sqrt{2}} \cdot \frac{l}{P} \sqrt{\frac{\mu_{10}}{\gamma}} \end{aligned} \right\} \quad (3)$$

但是鮑新認為電阻 r_o 是個附加電阻，僅由渦流作用所形成，並將鋼軌的電阻這樣來表示：

$$r = r_o + r_d,$$

式中 r_o — 鋼軌直流電阻。

這個說明沒有嚴密的論証，只能作為假定。M·I·鮑新工作有個很重要的結論——證明了當鋼軌中的電流為20—25安以下時，式子（3）中的 μ 值實際上與電流無關。所以M·I·鮑新建議在該式中用初比導磁率 $\mu_r = 80 \sim 100$ 。

在式（2）和（3）中應以下值代入：

$$\mu = \mu_0 \mu_r \text{ 欧·秒/公尺},$$

式中 $\mu_0 = 4\pi 10^{-7}$ 欧·秒/公尺；

μ_r — 無因次的比導磁率。

鋼的電導等於

$$\gamma = 4.75 \cdot 10^6 \text{ 媽/公尺}.$$

與它相應的電阻系數值為：

$$\rho = \frac{1}{\gamma} = 0.21 \cdot 10^{-6} \text{ 欧・公尺。}$$

但是式(3)所得的由于集膚效应作用而形成的电阻太小。仅当假設有接續綫的鋼軌的直流电阻不少于0.15—0.18欧时，亦即，比一公里純粹鋼軌的迴線的电阻高一倍时該式才会完全沒有錯誤。但是，『接地金屬建築物防止迷流侵蝕規則』要求軌端的附加电阻不得使鋼軌电阻增加20%以上。这要求与实际相符，当接續綫維护良好时就办得到。另一方面，公式(3)是自微分方程式的确解得来。因此，若要得到鋼軌阻抗的电阻部分和电抗部分的有效值則要在微分方程式的确解中加进修正系数。这些修正系数也要用在式(2)里。很可能所得的值不是十分准确的因为这些式子的形式是为了使它們可以有很广泛的应用范围。

考虑到这一点，本書作者就用等效長方形导体代替鋼軌的方法来組成微分方程式，从它的解就导出含有必要修正系数的計算公式来得到为实际所驗証的結果。

等效長方形的二邊是在鋼軌截面积和周長不变的条件下求出，所用的計算式为

$$\left. \begin{aligned} a &= \frac{P}{4} + \sqrt{\frac{P^2}{16} - S} \\ b &= \frac{P}{4} - \sqrt{\frac{P^2}{16} - S} \end{aligned} \right\} \quad (4)$$

式中 P ——鋼軌周長；

S ——鋼軌截面积。

表1中为P38型和P43型鋼軌的数据。圖2, a 表明了長方形导体的横截面，而圖2, δ 为 xoz 面上的截面。

根据表1的数据可以認為， a 比 b 大得多，而这就能忽略掉靠近导体上限面和下限面的边缘效应了。

截面上任何一点的磁感应和电流密度由以下的微分方程式来計算。

表 1
P38型和P43型鋼軌的数据

鋼軌型式	S (立方公尺)	P (公尺)	a (公尺)	b (公尺)	一公里單股鋼軌的电阻 (歐/公里)
P 38	$49.1 \cdot 10^{-4}$	0.55	0.255	$1.9 \cdot 10^{-2}$	0.0426
P 43	$55.7 \cdot 10^{-4}$	0.57	0.264	$2.15 \cdot 10^{-2}$	0.0378

对于橫截面上二个画有細斜綫的單元 (圖 2,a) , 等式

$$\oint B dl = \mu \int_s \delta ds , \quad (5)$$

是成立的, 其中

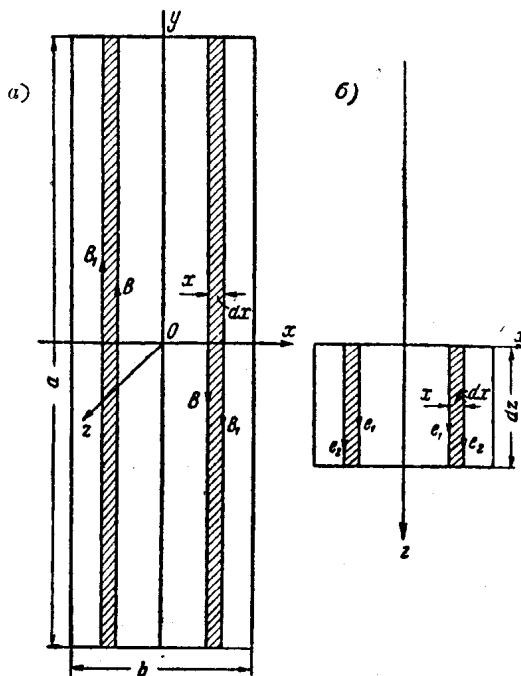


圖 2

B ——环綫上的磁感应；

δ ——环綫內的电流密度；

S ——环綫所包含的面积。

左边的积分可以表示为：

$$\oint B dl = 2a(B_1 - B) = 2a \left(B + \frac{\partial B}{\partial x} dx - B \right);$$

而右边的則为

$$\mu \int_s \delta ds = 2a \mu \delta dx.$$

把这两个表示式比較一下，得出微分方程式

$$\frac{\partial B}{\partial x} = \mu \delta. \quad (6)$$

这里各量的因次为：

$[B]$ = 伏·秒/平方公尺； $[\mu]$ = 欧·秒/公尺； $[\delta]$ = 安/平方公尺。

切割磁感应为 B 的磁力綫的 xoz 面上有二个画着細斜綫的截面單元，对于这二个單元，等式

$$e_1 - e_2 = - \frac{\partial \Phi}{\partial t} = - dz dx \frac{\partial B}{\partial t}, \quad (7)$$

是成立的，式中，等式左边可以表示为：

$$e_1 - e_2 = \delta \rho - \left(\delta^2 + \rho \frac{\partial \delta}{\partial x} dx \right) = - \rho \frac{\partial \delta}{\partial x} dx.$$

若在表示式 (7) 中以导体的單位長度代替 dz ，則得公式

$$\gamma \frac{\partial B}{\partial t} = \frac{\partial \delta}{\partial x}, \quad (8)$$

式中的 ρ 以其倒数 γ 来代替。

微分式 (6) 並以其結果代入式 (8) 則得到 B 的公式

$$\frac{\partial^2 B}{\partial x^2} = \gamma \mu \frac{\partial B}{\partial t}, \quad (9)$$

对于正弦磁感应可得：

$$B = B_m e^{j\omega t}; \quad \frac{\partial B}{\partial t} = j\omega B_m e^{j\omega t},$$

$$\frac{\partial^2 B}{\partial x^2} = \frac{\partial^2 B_m}{\partial x^2} e^{j\omega t},$$

$$\frac{\partial^2 B_m}{\partial x^2} = j\omega \mu \gamma B_m \quad (10)$$

微分方程式 (10) 的通解表示如下:

$$B_m = C_1 e^{\alpha x} + C_2 e^{-\alpha x}, \quad (11)$$

式中

$$\alpha = \sqrt{j\omega \mu / }.$$

积分常数 C_1 和 C_2 由以下的条件来确定:

1. 当 $x = 0$ 和 $B_m = 0$, 自式 (11) 得

$$C_1 + C_2 = 0. \quad (12)$$

2. 当 $x = \frac{b}{2}$, $2aB_m = \mu I$, 式中 I —— 导体中通过的总电流; 自式 (11) 得

$$C_1 e^{-\frac{1}{2}ba} + C_2 e^{-\frac{1}{2}ba} = \frac{1}{2a} \mu I. \quad (13)$$

从式 (12) 和 (13) 中解 C_1 和 C_2 , 则得:

$$C_1 = \frac{\mu I}{2a} \cdot \frac{1}{e^{-\frac{1}{2}ba} - e^{-\frac{1}{2}ba}},$$

$$C_2 = -\frac{\mu I}{2a} \cdot \frac{1}{e^{-\frac{1}{2}ba} - e^{-\frac{1}{2}ba}}.$$

以所得的 C_1 和 C_2 值代入式 (11) 则得以下的 B_m 的式子:

$$B_m = \frac{\mu I}{2a} \cdot \frac{\sinh \alpha x}{\sinh \frac{1}{2}ba}. \quad (14)$$

电流密度的式子可以根据式 (6) 求得:

$$\delta = \frac{1}{\mu} \cdot \frac{dB_m}{dx} = \frac{1}{2} ba \frac{I}{ab} \cdot \frac{\cosh \alpha x}{\sinh \frac{1}{2}ba}. \quad (15)$$